

# Scheduling abhängiger Tasks

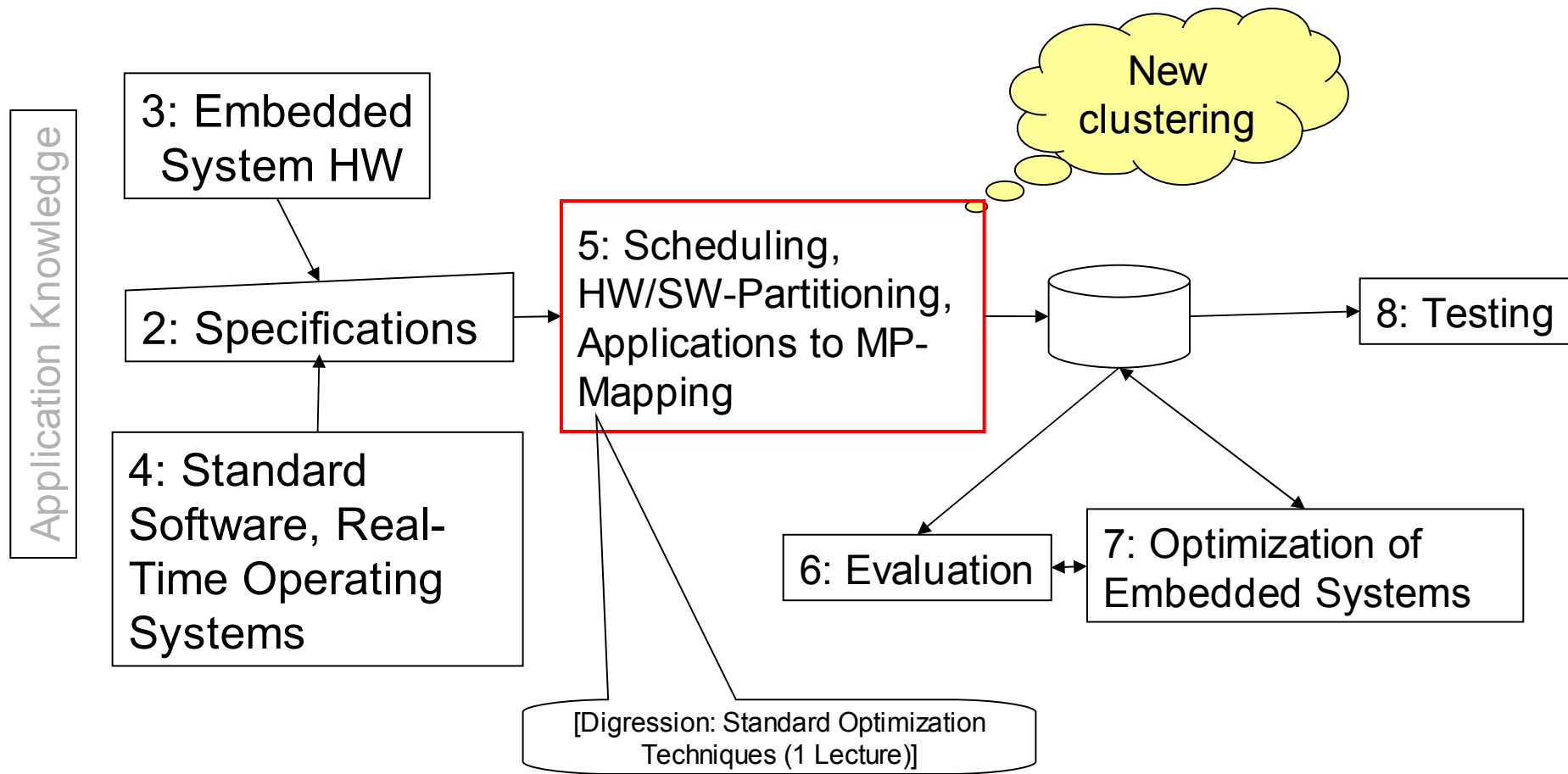
## - Techniken aus Mikroarchitektursynthese -

Peter Marwedel  
TU Dortmund  
Informatik 12  
Germany

2008/11/15



# Structure of this course



# Classes of mapping algorithms considered in this course

---

- **Classical scheduling algorithms**

Mostly for independent tasks & ignoring communication, mostly for mono- and homogeneous multiprocessors

- ➡ ■ **Dependent tasks as considered in architectural synthesis**

Initially designed in different context, but applicable

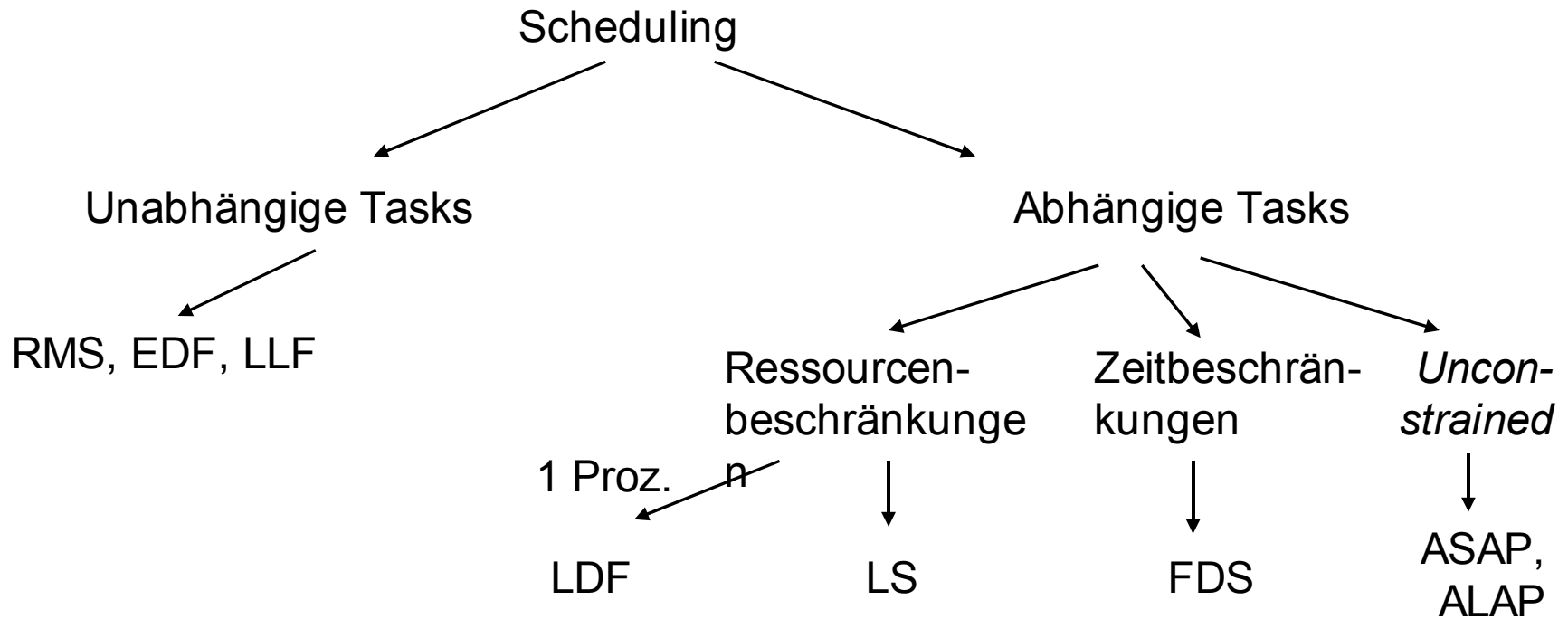
- **Hardware/software partitioning**

Dependent tasks, heterogeneous systems, focus on resource assignment

- **Design space exploration using genetic algorithms**

Heterogeneous systems, incl. communication modeling

# Klassen von Scheduling-Problemen



# Nutzung von Scheduling-Algorithmen der Mikroarchitektursynthese

---

Synthese der RT-Struktur aus Algorithmen

## Synonyme:

- *architectural synthesis*
- *behavioral synthesis,*
- *high-level synthesis;*

## Übersetzung

- Operationen  $\leftrightarrow$  Tasks
- Ressourcen  $\leftrightarrow$  Prozessoren
- Datenflussgraphen (vielfach Bäume)  $\leftrightarrow$  Taskgraphen
- Kontrollschritte (vielfach Intervalle der Länge 1)  $\leftrightarrow$  Zeitintervalle

# Datenflussgraphen

---

Berechnungen ohne Sprünge (d.h. innerhalb eines Basisblocks) können mit Datenfluss-Graphen dargestellt werden.

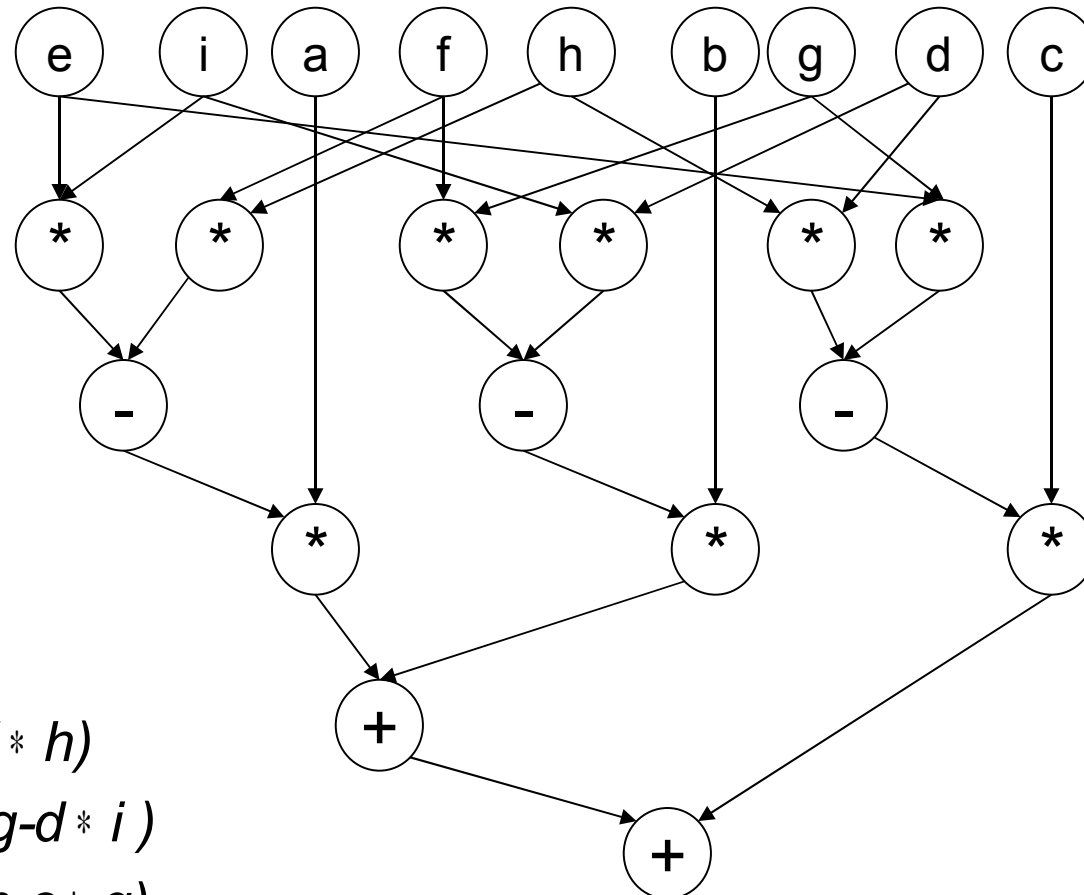
Beispiel: Berechnung von Determinanten:

$$\begin{vmatrix} a & b & c \\ d & e & f \\ g & h & i \end{vmatrix}$$

als Formel:

$$\det = a * (e * i - f * h) + b * (f * g - d * i) + c * (d * h - e * g)$$

# Datenflussgraph für das Determinantenbeispiel



$$\begin{aligned} \det &= a * (e * i - f * h) \\ &+ b * (f * g - d * i) \\ &+ c * (d * h - e * g) \end{aligned}$$

# As soon as possible (ASAP) scheduling: Prinzip

---

ASAP: **Alle Operationen werden so früh wie möglich eingeplant**

Schleife über alle Zeitschritte (aufsteigend):

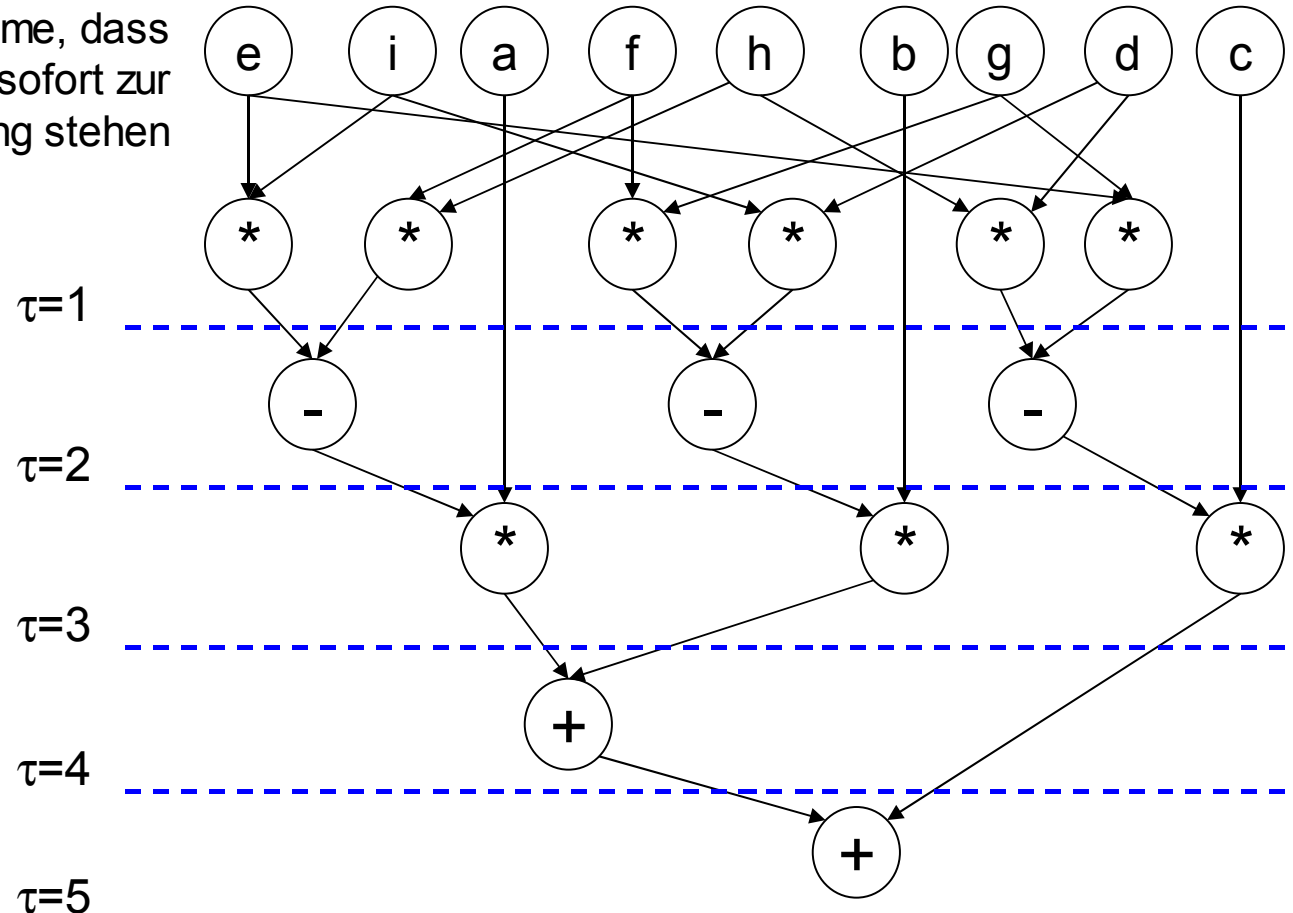
- Bestimme alle noch nicht eingeplanten Operationen, für die alle Vorgängeroperationen bereits ein Ergebnis geliefert haben.
- Plane den Start dieser Operationen für den aktuellen Zeitschritt ein.



# As soon as possible (ASAP) scheduling: Beispiel

## Determinante

Annahme, dass Werte sofort zur Verfügung stehen



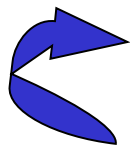
Ende der  
Bearbeitung  
der  
Operation  
bzw.  
Nummer des  
Kontroll-  
schritts.

# As-late-as-possible (ALAP) scheduling: Prinzip

---

ALAP: Alle Operationen werden so spät wie möglich eingeplant

Starte beim letzten Kontrollschritt bzw. bei maximaler Zeit\*:



Plane Operationen ohne Nachfolger bzw. mit eingeplanten Nachfolgern zeitlich ein.

---

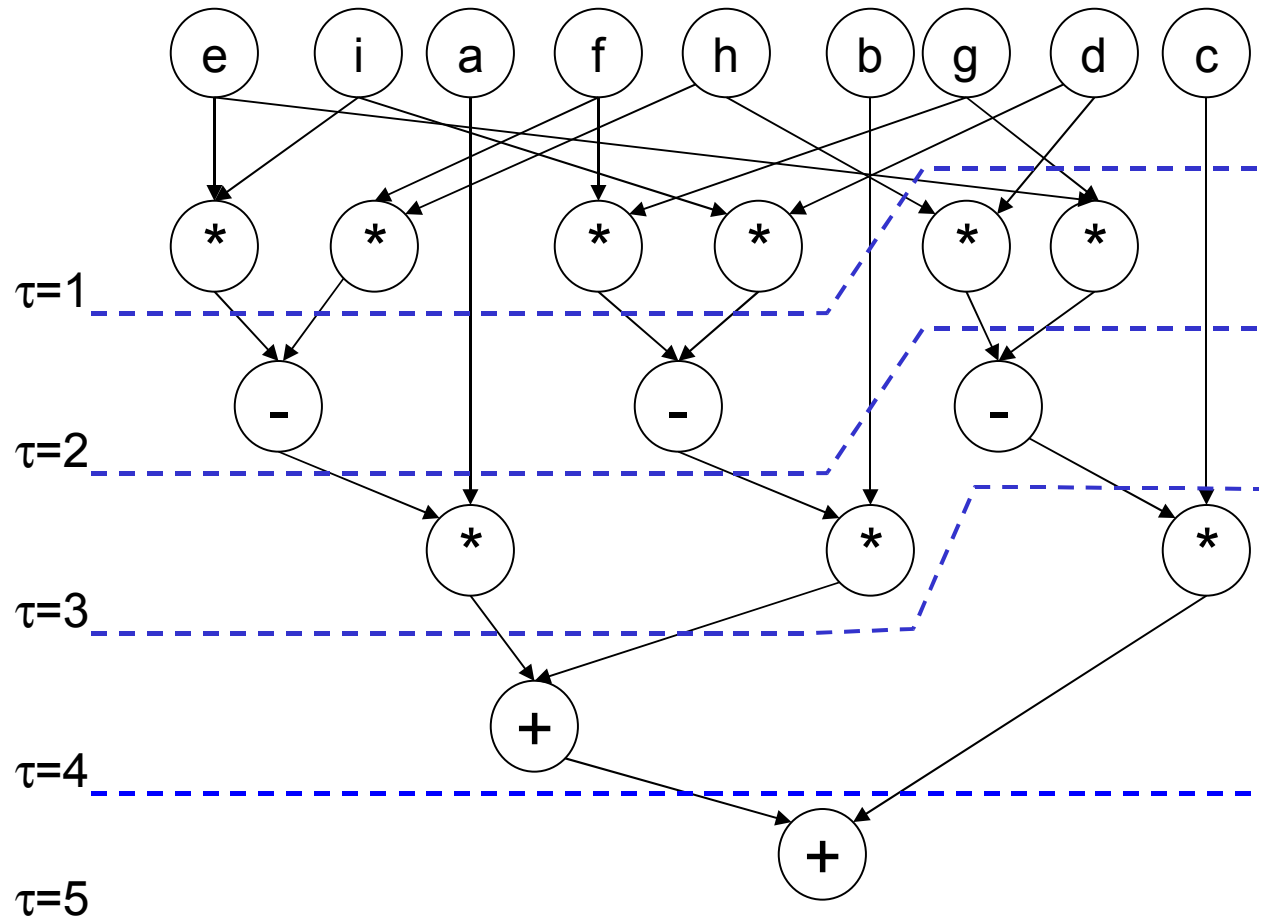
\* Man baut eine Liste von „Kontrollschritten“ bzw. von Operationen, die in einem Zeitintervall stattfinden sollen, von hinten nach vorn auf.

# As-late-as-possible (ALAP) scheduling: Beispiel

Determinante

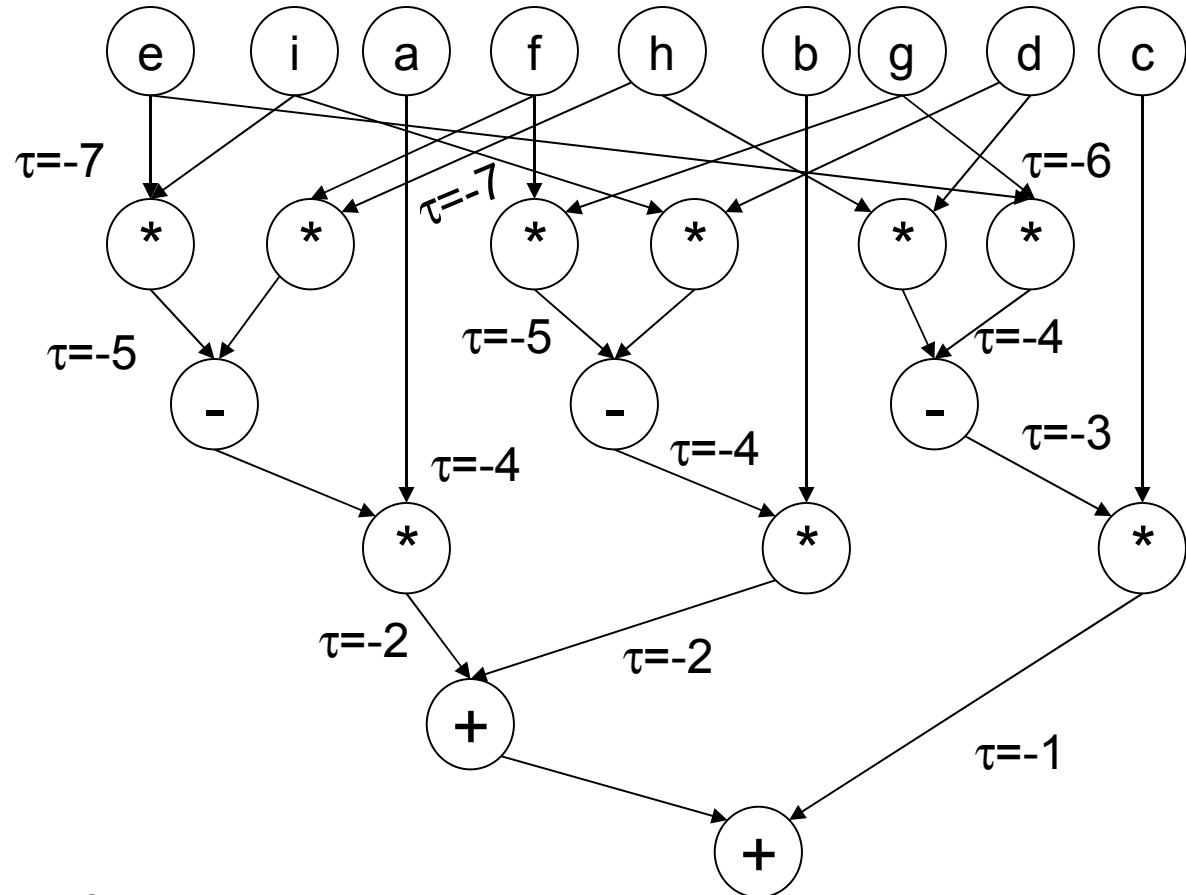
Schedule besitzt Einfluss auf die Anzahl benötigter Ressourcen

Starte hier:



# Unterschiedliche Ausführungsgeschwindigkeiten

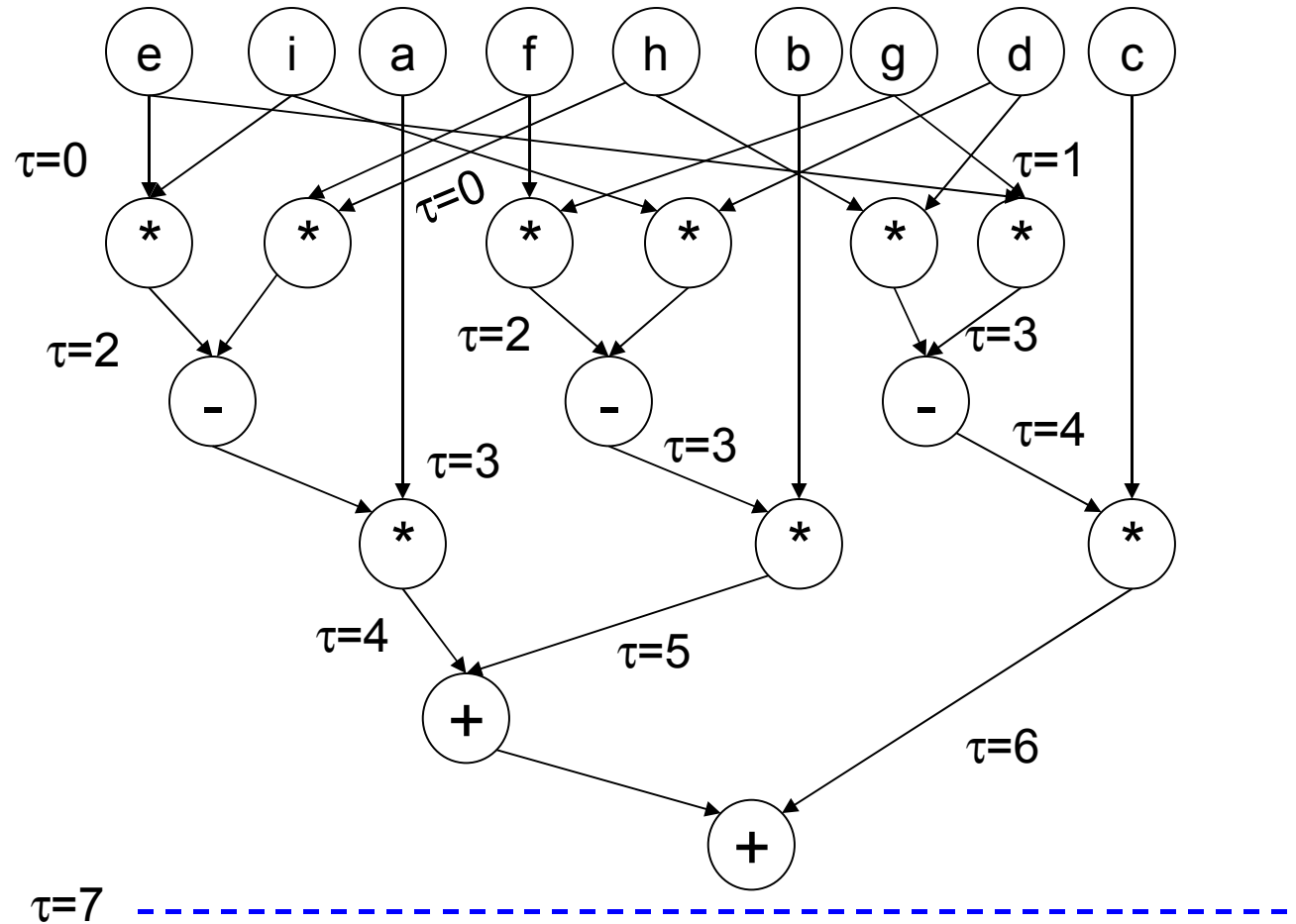
Determinante



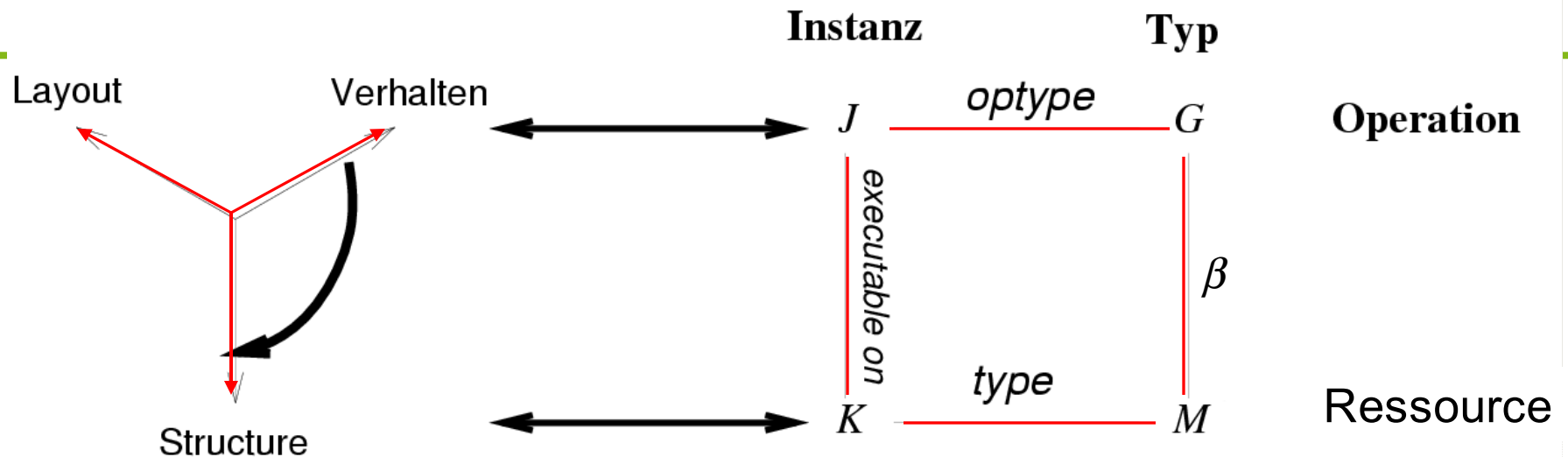
Starte hier:  $\tau=0$

# Unterschiedliche Ausführungsgeschwindigkeiten

Determinante



# Darstellung von Ressourcen

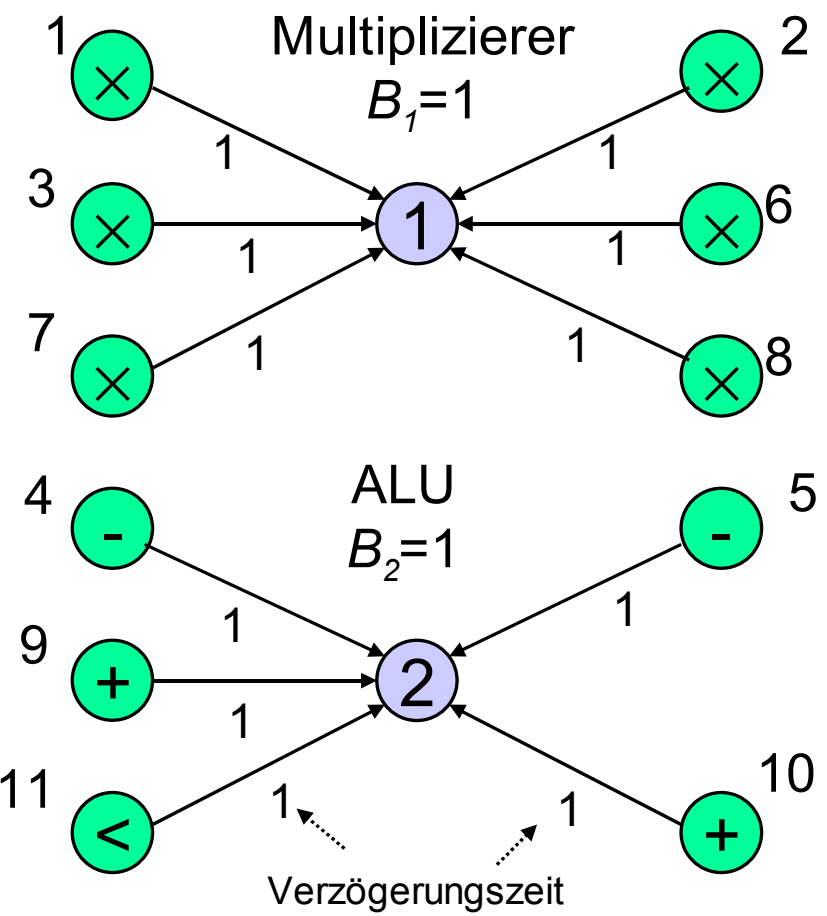
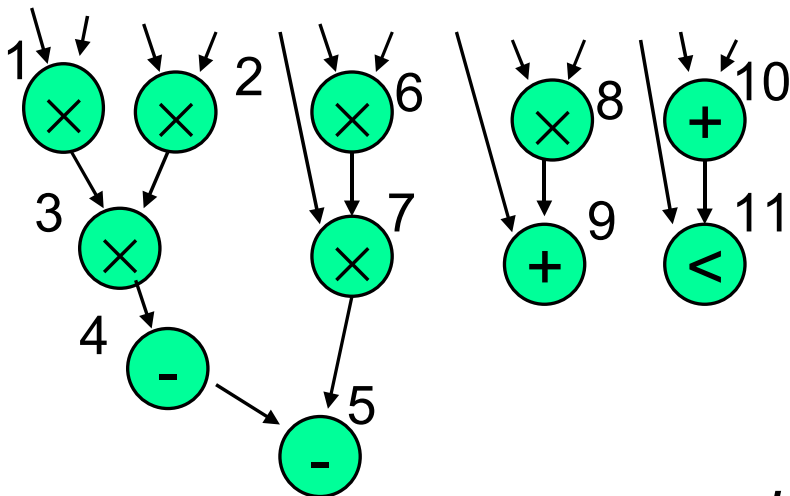


- $optype$ : Typ einer Operation im DFG.
- $type: K \rightarrow M$ : Typ eines Ressourcenexemplars.
- $\beta(m): M \rightarrow \wp(G)$ : Funktionalität einer Ressource:  
 $\forall m \in M, g \in G: g \in \beta(m) \Leftrightarrow m$  kann Operation  $g$  ausführen.
- $j \in J \text{ executable\_on } k \in K \Leftrightarrow optype(j) \in \beta(type(m))$ .
- $i \in I$ : Indexmenge von Kontrollschritten.
- $\ell(j, m)$ : Anzahl Kontrollschritte für das Ausführen von  $j$  auf  $m$ .

# Ressourcengraph $G_R=(V_R, E_R)$

Darstellung von

- $\text{type}(j) \in \beta(m)$
- und  $\ell = \ell(j, m)$
- und  $B_m$ : Anzahl der Ressourcen vom Typ  $m$



Nach J. Teich.

# List-Scheduling

---

Listscheduling ist eine Weiterentwicklung der ASAP/ALAP-Verfahren.

Vorbereitung:

- Topologisches Sortieren des DFG  $G=(V,E)$
- Ermittlung einer **Dringlichkeitsfunktion** (Priorität) für jeden Knoten:

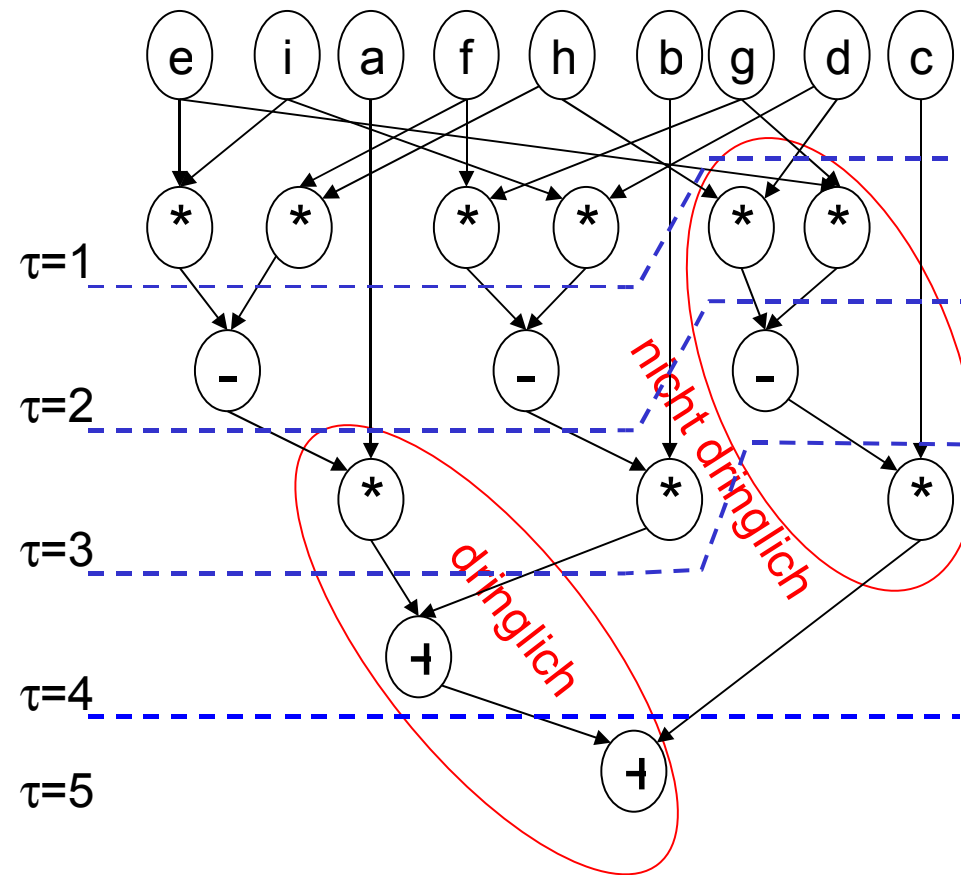
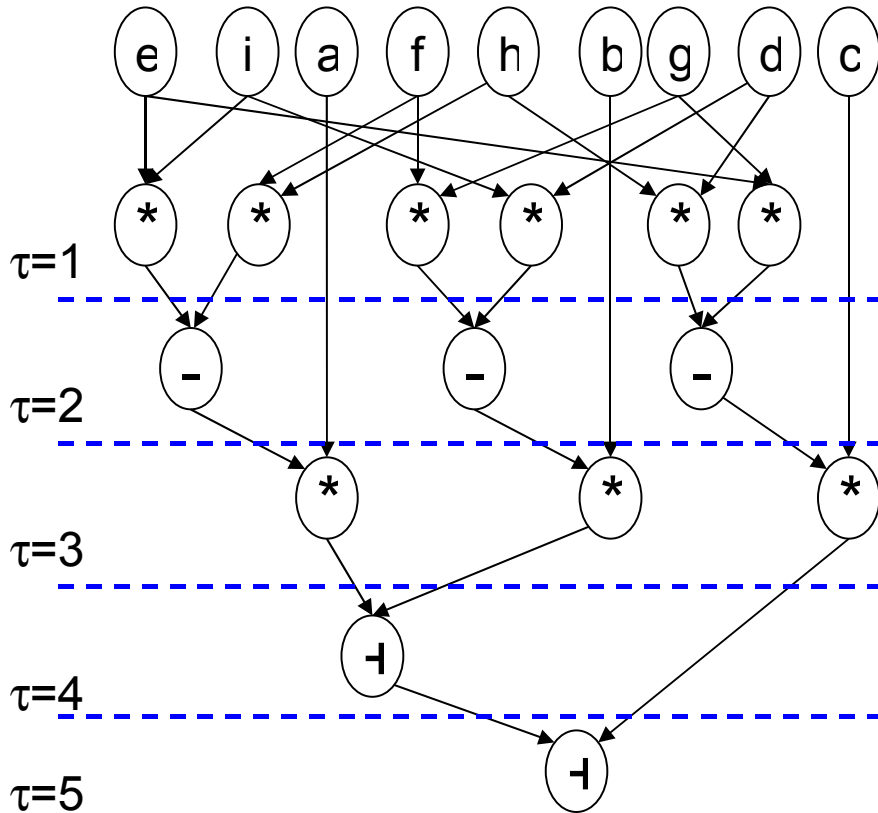
Mögliche Dringlichkeitsfunktionen  $p$ :

- Anzahl der Nachfolgerknoten
- Gewicht des längsten Pfades
- **Mobilität**=Differenz zwischen ALAP und ASAP Schedule

Quelle: Teich: Dig. HW/SW Systeme



# Mobility als Dringlichkeitsmaß



*Mobility* erlaubt keine präzise  
Bevorzugung bestimmter Knoten.

# Wiederholt durchzuführende Berechnungen

---

- Wiederholte Berechnung der Menge der auf einem Bausteintyp  $m$  ausführungsbereiten Operationen, deren Vorgänger alle bekannt sind:

$$A_{i,m} = \{v_j \in V: \text{type}(v_j) \in \beta(m) \wedge \forall j': (v_{j'}, v_j) \in E: i > \tau(v_{j'}) + \ell(j') - 1\}$$

- Menge der Operationen des Typs  $m$ , die im Kontrollschritt  $i$  noch ausgeführt werden:

$$G_{i,m} = \{v_j \in V: \text{type}(v_j) \in \beta(m) \wedge \tau(v_j) + \ell(j) - 1 \geq i \geq \tau(v_j)\}$$

- Bestimmung einer Menge  $S_i$  von zu startenden Operationen mit

$$|S_i| + |G_{i,m}| \leq B_m$$

# Algorithmus

List( $G(V,E)$ ,  $\beta$ ,  $B$ ,  $\rho$ ,  $\ell$ ) {

$i:=0$ ;

**repeat** {

**for** ( $m=1$ ) **to** Anzahl Ressourcentypen {

Bestimme Kandidatenmenge  $A_{i,m}$  ;

Bestimme Menge nicht beendeter Operationen  $G_{i,m}$  ;

Wähle eine Menge maximaler Priorität  $S_i$  mit

$$|S_i| + |G_{i,m}| \leq B_m$$

**foreach** ( $v_j \in S_i$ ):  $\tau(v_j) := i$ ; (\*setze schedule fest\*)

}  $i:=i+1$ ;

}

**until** (alle Knoten von  $V$  geplant);

**return** ( $\tau$ );

Auch ohne Ressourcen-  
beschränkung  
anwendbar

Komplexität:  $O(|V|)$

# Beispiel

Schedule für Ressourcengraph wie vorhin mit der Länge des Pfades als Dringlichkeitsmaß  $p$ .

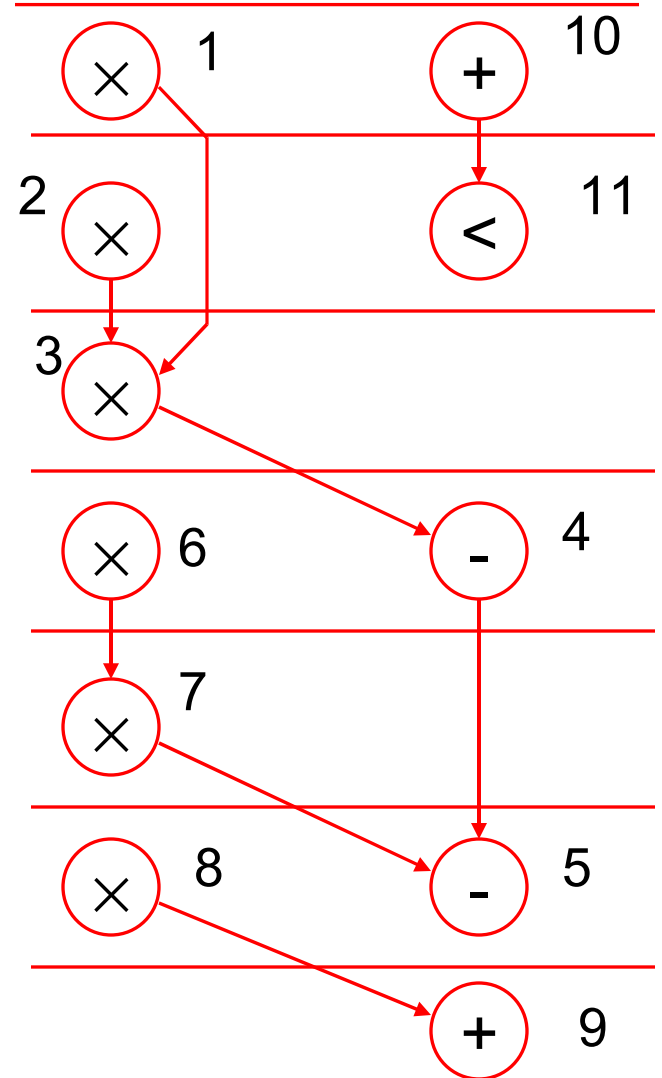
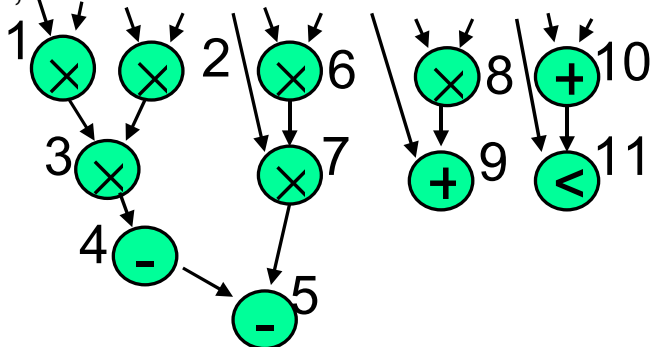
$$p(v_1)=p(v_2)=4$$

$$p(v_3)=p(v_6)=3$$

$$p(v_4)=p(v_7)=p(v_8)=p(v_{10})=2$$

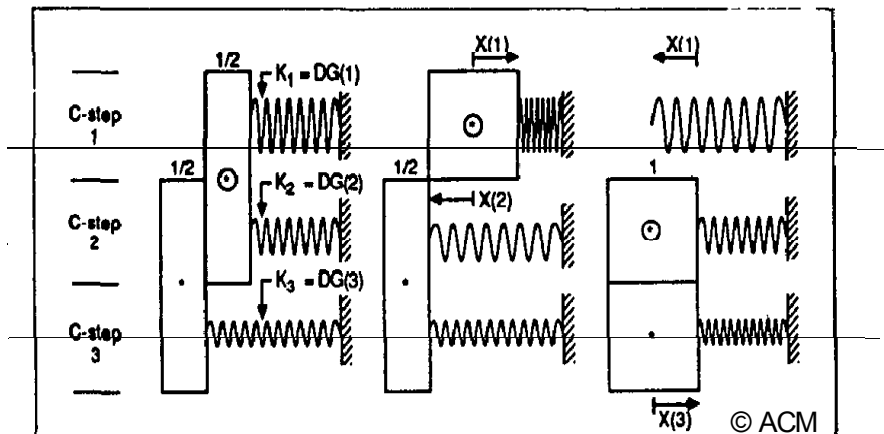
$$p(v_5)=p(v_9)=p(v_{11})=1$$

$$G_{i,m}=0, \text{ weil } \ell=1 \quad \forall i,j,m.$$



# Scheduling mit Zeitbeschränkungen

*Force-directed scheduling*\* zielt auf eine gleichmäßige Ressourcenauslastung bei vorgegebener Ausführungszeit. Basiert auf Federmodell und Hooke'schem Gesetz:



\* [Pierre G. Paulin, J.P. Knight, Force-directed scheduling in automatic data path synthesis, *Design Automation Conference (DAC)*, 1987, S. 195-202]



# Das *diffeq*-Beispiel

---

Die Differentialgleichung

$$y'' + 3zy' + 3y = 0$$

kann durch den folgenden Algorithmus gelöst werden:

**while** ( $z < a$ ) **do**

**begin**

$z_l := z + dz;$

$u_l := u - (3 \cdot z \cdot u \cdot dz) - (3 \cdot y \cdot dz);$

$y_l := y + (u \cdot dz);$

$z := z_l;$

$u := u_l;$

$y := y_l;$

**end;**

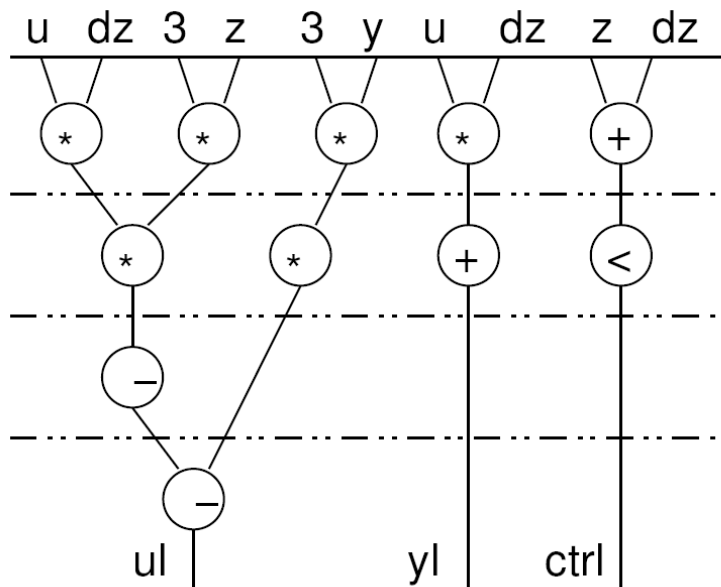
# ASAP- und ALAP-schedules von *diffeq*

```

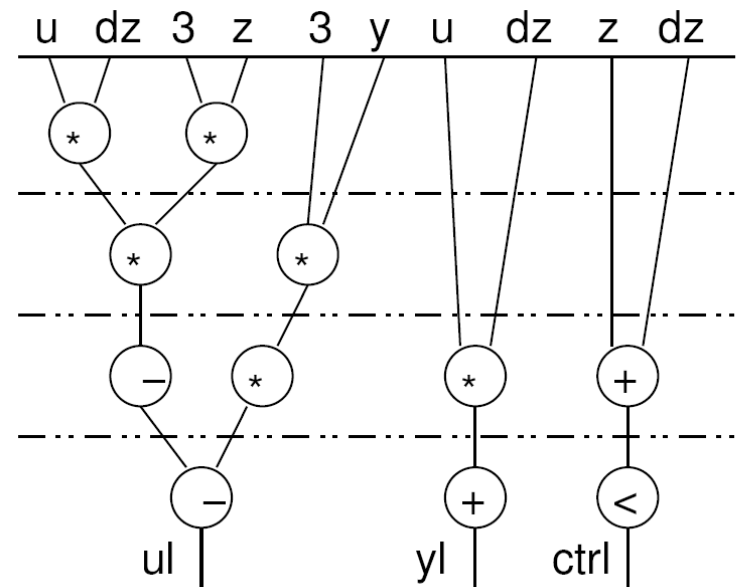
while (z < a) do
  begin
    zl := z + dz;    ul := u - (3 · z · u · dz) - (3 · y · dz);
    yl := y + (u · dz); z := zl;
    u := ul;        y := yl;
  end;

```

## ASAP



## ALAP



# Jeweils Betrachtung von Klassen von Operationen

---

Partitionierung der (im DFG benutzten) Operationstypen  $G$  in Klassen  $\{H_p \in \wp(G)\}$  so, dass für die Operationen in den verschiedenen  $H_p$  jeweils disjunkte Ressourcentypen in Frage kommen:

$$\forall g \in H_p \forall g' \in H_p : \{m \mid g \in \beta(m)\} \cap \{m' \mid g' \in \beta(m')\} = \emptyset$$

Beispiel:

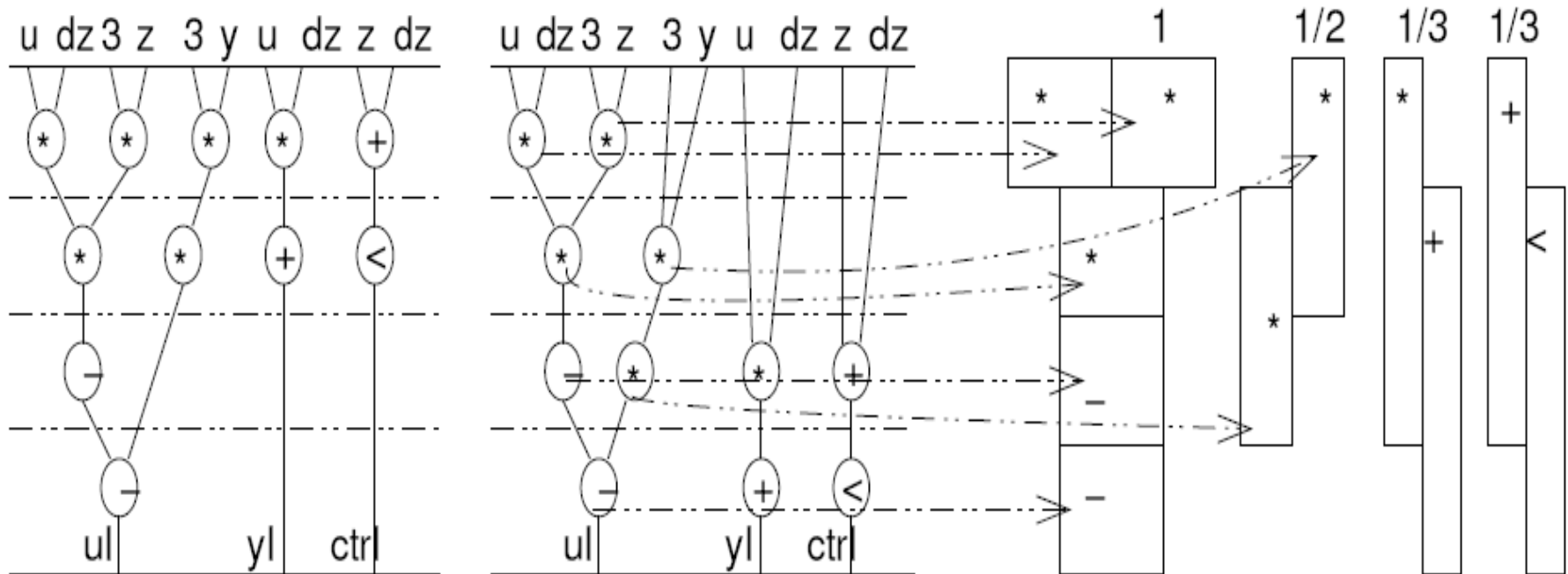
$$\beta(1) = \{+, -\}, \beta(2) = \{*\} \rightarrow H_1 = \{+, -\}, H_2 = \{*\}$$

Verfahren muss für alle  $H_p$  durchgeführt werden.

Im Folgenden: Betrachtung einer repräsentativen Menge  $H$ .



# 1. Erzeugung eines Zeitrahmens $R(j)$ und 2. einer „Wahrscheinlichkeit“ $P(j,i)$ für Zuordnung $j \rightarrow i$

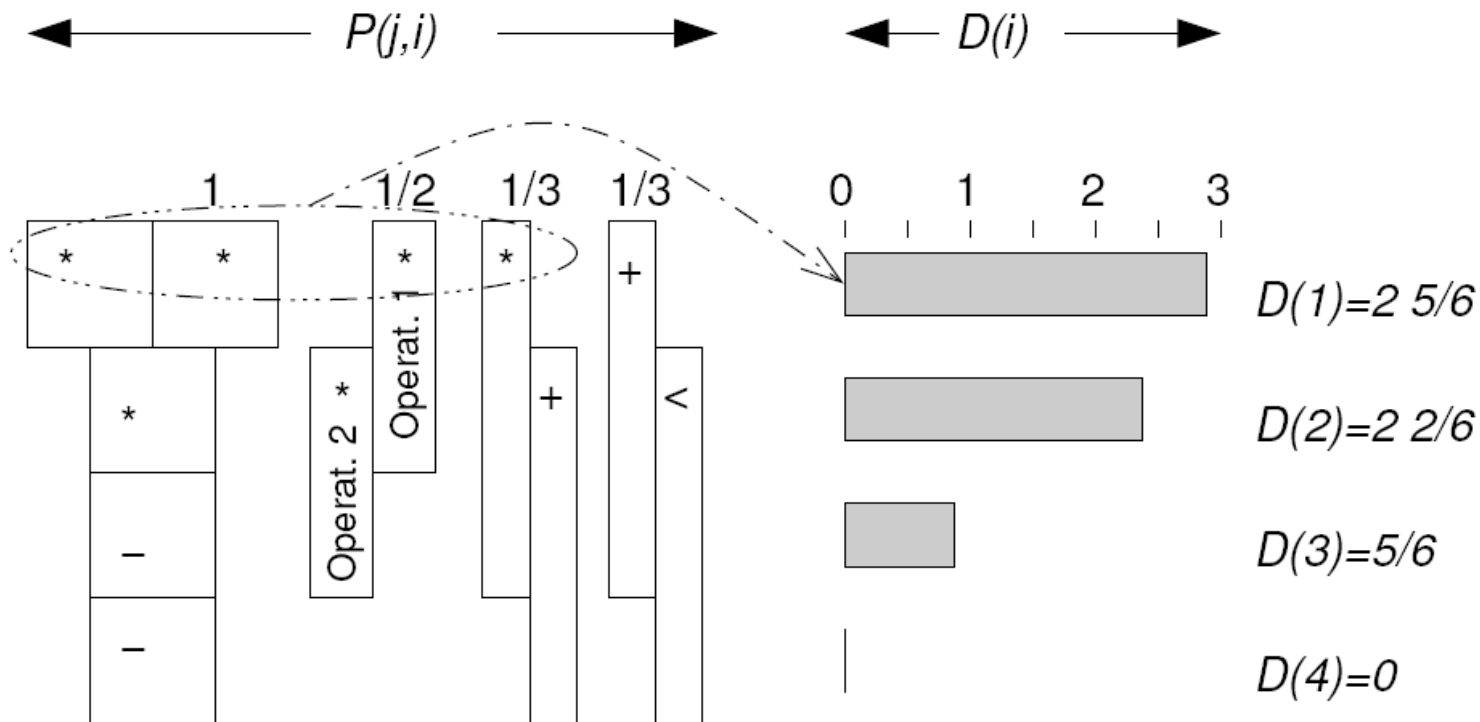


$R(j) = \{\text{ASAP-Kontrollschritt} \dots \text{ALAP-Kontrollschritt}\}$

$$P(j, i) = \begin{cases} \frac{1}{|R(j)|} & \text{falls } i \in R(j) \\ 0 & \text{sonst} \end{cases}$$

# 3. Bestimmung einer „Verteilung“ $D(i)$ (Anzahl von Operationen aus $H$ im Kontrollschritt $i$ )

$$D(i) = \sum_{j, \text{type}(j) \in H} P(j, i)$$

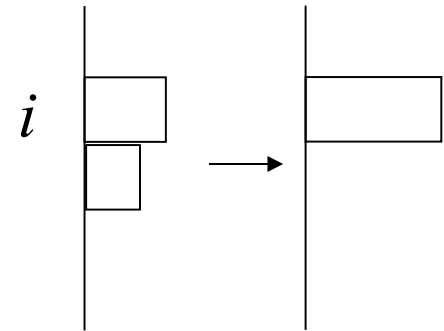


# 4. Berechnung von direkten Kräften (1)

- $\Delta P_i(j, i')$  ist die Änderung der Kraft auf  $j$  im Kontrollschritt  $i'$ , wenn  $j$  auf  $i$  abgebildet wird.

Die neue Wahrscheinlichkeit  $j$  in  $i$  auszuführen, ist 1; die alte war  $P(j, i)$ .

Die neue Wahrscheinlichkeit  $j$  in  $i' \neq i$  auszuführen, ist 0; die alte war  $P(j, i)$ .



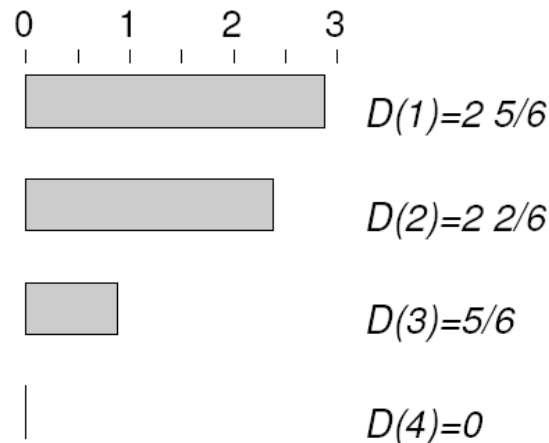
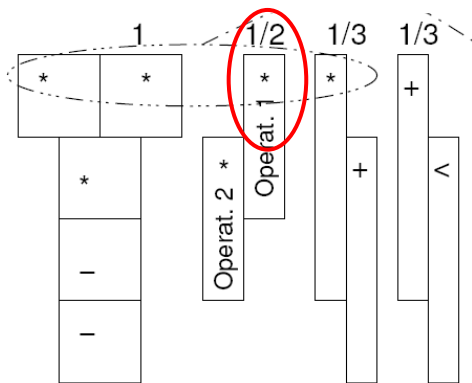
$$\text{☞ } \Delta P_i(j, i') = \begin{cases} 1 - P(j, i) & \text{falls } i = i' \\ -P(j, i) & \text{sonst} \end{cases}$$

# 4. Berechnung von direkten Kräften (2)

- $SF(j, i)$  ist die gesamte Änderung der (direkten) Kräfte aufgrund der Zuordnung von  $j$  zu  $i$ .

$$SF(j, i) = \sum_{i' \in R(j)} D(i') \Delta P_i(j, i') \quad \Delta P_i(j, i') = \begin{cases} 1 - P(j, i) & \text{falls } i = i' \\ -P(j, i') & \text{sonst} \end{cases}$$

Beispiel

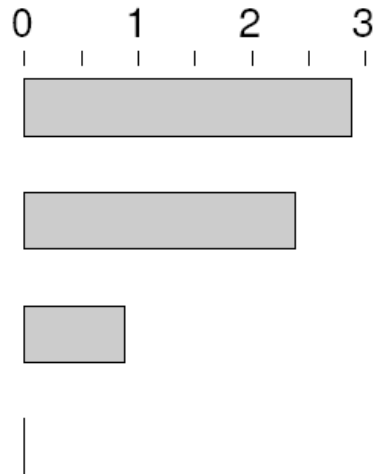
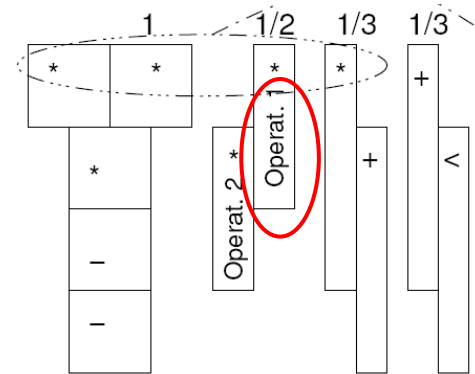


$$SF(1, 1) = 2 \frac{5}{6} (1 - \frac{1}{2}) - 2 \frac{2}{6} (\frac{1}{2}) =$$

$$\frac{1}{2} (\frac{17}{6} - \frac{14}{6}) = \frac{1}{2} (\frac{3}{6}) = \frac{1}{4}$$

# 4. Berechnung von direkten Kräften (3)

Berechnung der direkten Kraft für die Zuordnung von Operation 1 in Kontrollschritt 2.



$$D(1)=2 \frac{5}{6}$$

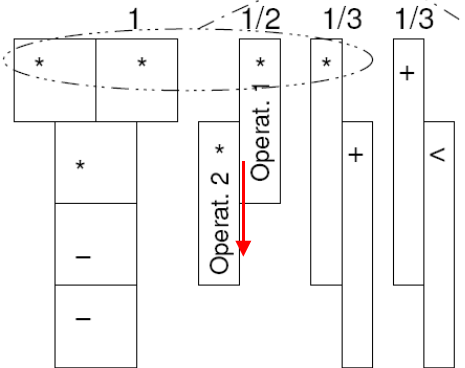
$$D(2)=2 \frac{2}{6}$$

$$D(3)=\frac{5}{6}$$

$$D(4)=0$$

$$\begin{aligned}
 SF(1, 2) &= D(1) * \Delta P_2(1, 1) + D(2) * \Delta P_2(1, 2) \\
 &= 2 \frac{5}{6} * (-0, 5) + 2 \frac{2}{6} * 0.5 \\
 &= -\frac{17}{12} + \frac{14}{12} \\
 &= -\frac{3}{12} = -\frac{1}{4}
 \end{aligned}$$

# 5. Berechnung von indirekten Kräften (1)



Die Zuordnung von Operation 1 zu CS 2 impliziert die Zuordnung von Operation 2 zu CS 3

☞ Betrachtung von Vorgänger- und Nachfolgerkräften

$$VF(j, i) = \sum_{j' \in \text{Vorgänger von } j} \sum_{i' \in I} D(i') \Delta P_{j,i}(j', i')$$

$$NF(j, i) = \sum_{j' \in \text{Nachfolger von } j} \sum_{i' \in I} D(i') \Delta P_{j,i}(j', i')$$

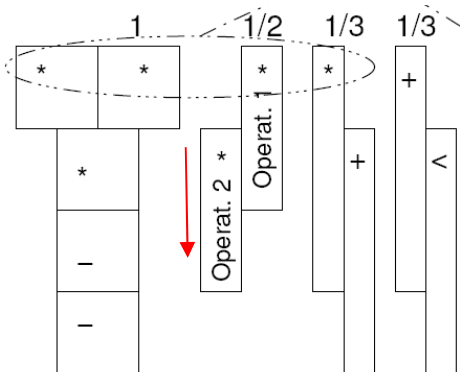
$\Delta P_{j,i}(j', i')$  ist die Änderung der Wahrscheinlichkeit der Zuordnung von  $j'$  zu  $i'$  aufgrund der Zuordnung von  $j$  zu  $i$

# 5. Berechnung von indirekten Kräften (2)

$$VF(j, i) = \sum_{j' \in \text{Vorgänger von } j} \sum_{i' \in I} D(i') \Delta P_{j,i}(j', i')$$

$$NF(j, i) = \sum_{j' \in \text{Nachfolger von } j} \sum_{i' \in I} D(i') \Delta P_{j,i}(j', i')$$

Beispiel: Berechnung der Nachfolgerkraft für die Zuordnung von Operation 1 in Kontrollschritt 2



$$\begin{aligned}
 NF(1, 2) &= D(2) * \Delta P_{1,2}(2, 2) + D(3) * \Delta P_{1,2}(2, 3) \\
 &= 2\frac{2}{6} * (-0,5) + \frac{5}{6} * 0.5 \\
 &= -\frac{14}{12} + \frac{5}{12} \\
 &= -\frac{9}{12} = -\frac{3}{4}
 \end{aligned}$$

# Gesamtkräfte

---

Die Gesamtkraft ergibt sich als Summe der direkten und der indirekten Kräfte:

$$F(j, i) = SF(j, i) + VF(j, i) + NF(j, i)$$

Im Beispiel:

$$F(1, 2) = SF(1, 2) + NF(1, 2) = -\frac{1}{4} + \left(-\frac{3}{4}\right) = -1$$

Der niedrige Wert lässt die Zuordnung von Operation 1 zu CS 2 sehr vorteilhaft erscheinen.



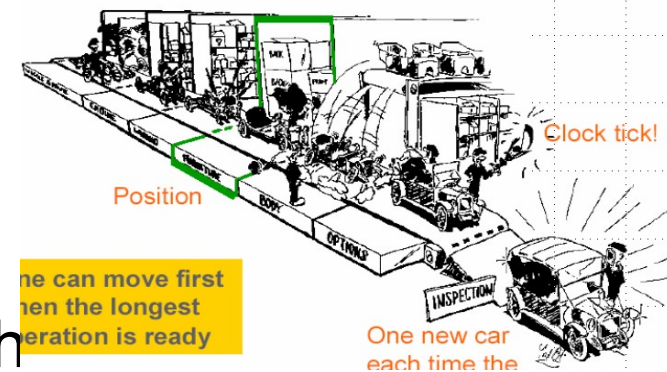
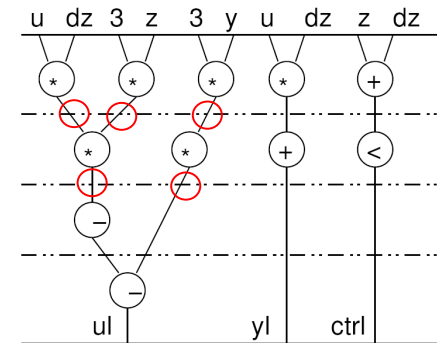
# Gesamtablauf

---

```
procedure kräfteverfahren;  
begin  
  ASAP-Scheduling;  
  ALAP-Scheduling;  
  while nicht alle Operationen eingeplant do  
    begin  
      wähle Operation mit niedrigster Gesamtkraft aus;  
      plane Operation in dem Kontrollschritt mit  
        niedrigster Kraft ein;  
      berechne Ausführungsintervalle neu;  
      berechne  $D(i)$  neu;  
    end;  
end
```

# Eigenschaften von *force-directed scheduling* (FDS)

- Kann auf die Behandlung von Pufferregistern und Verbindungen ausgedehnt werden, indem die entsprechenden Operationen und Ressourcen eingeführt werden.
- FDS kann mit LS kombiniert werden.
- Es gibt diverse Erweiterungen, die bestimmte Nachteile ausgleichen.
- FDS ist ein populäres Verfahren auch außerhalb des Mikroelektronikentwurfs.

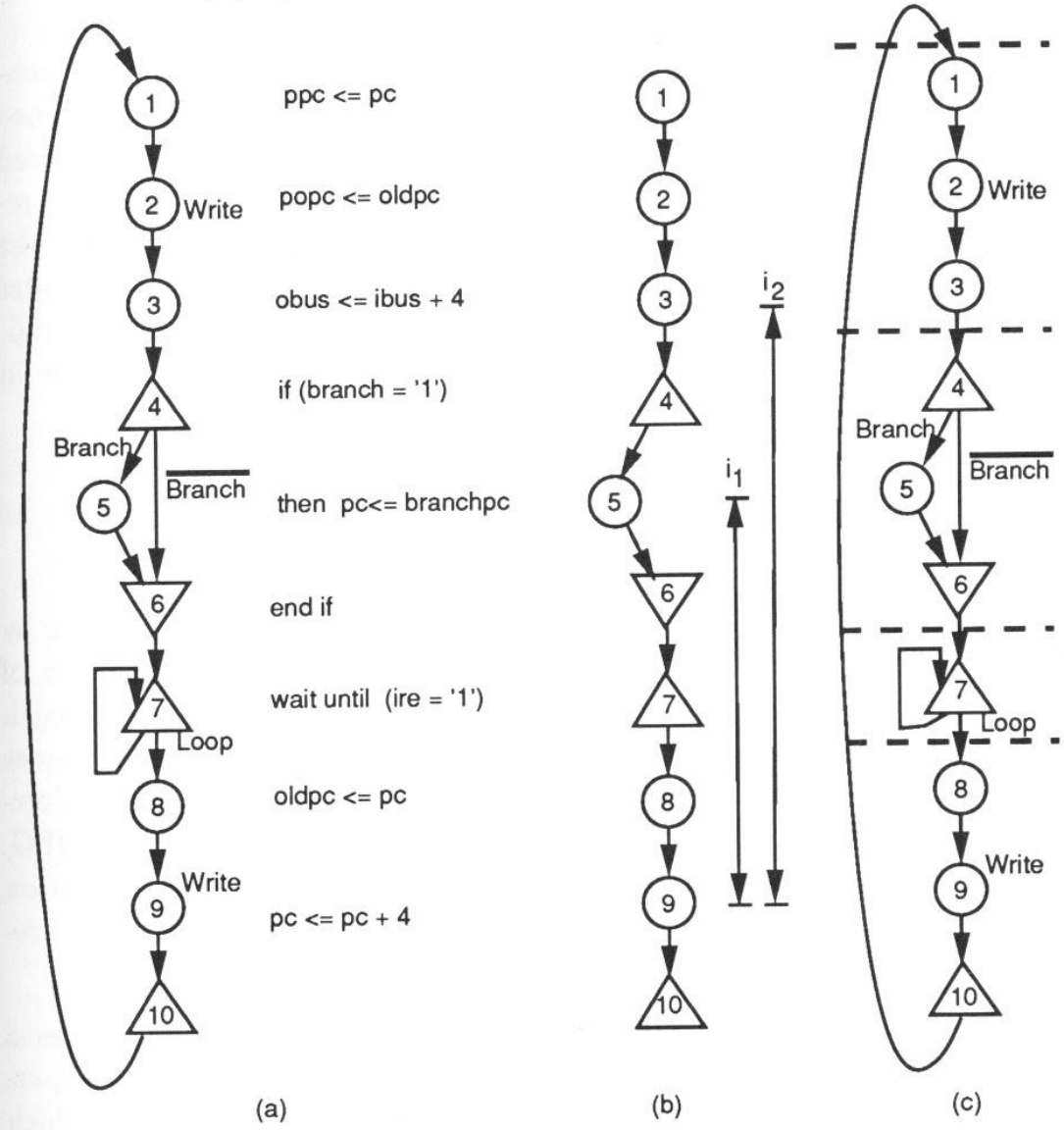


[www.itlth.se/courses/ds/material/Lectures/Lecture6.pdf](http://www.itlth.se/courses/ds/material/Lectures/Lecture6.pdf)

# Path-based scheduling

Schwergewicht auf möglichst großer Ausführungsgeschwindigkeit der wichtigsten Pfade.  
 Zunächst werden alle Pfade berechnet.  
 Diese werden dann unabhängig voneinander „eingeplant“ und anschließend werden die Schedules verschmolzen.

Input Ports: branchpc, ibus, branch, ire  
 Output Ports: ppc, popc, obus  
 Variables: pc, oldpc



© Gajski et al.

Figure 7.14: Path-based scheduling: (a) an example CDFG, (b) a path in the CDFG with constraint intervals, (c) scheduled CDFG.

# Bewertung der Scheduling-Verfahren

---

- Erlaubt Behandlung heterogener Ressourcen bzw. Multiprozessorsysteme
- Schwerpunkt auf der Berücksichtigung von Abhängigkeiten
- Primär Betrachtung diskreter Zeitabschnitte
- Variable Ausführungszeiten häufig nur als Erweiterung
- Kaum Nutzung globaler Kenntnisse zu Perioden usw.
- V.a. Heuristiken, wenige Aussagen zur Optimalität

# Zusammenfassung

---

- Analogie Multiprozessor-Scheduling  
↔ Scheduling in Mikroarchitektur-Synthese
- Verfahren
  - ASAP
  - ALAP
  - *List scheduling* (LS)
  - *Force-directed scheduling* (FDS)
- Bewertung